

Fig. 1 R. Inaba et al.

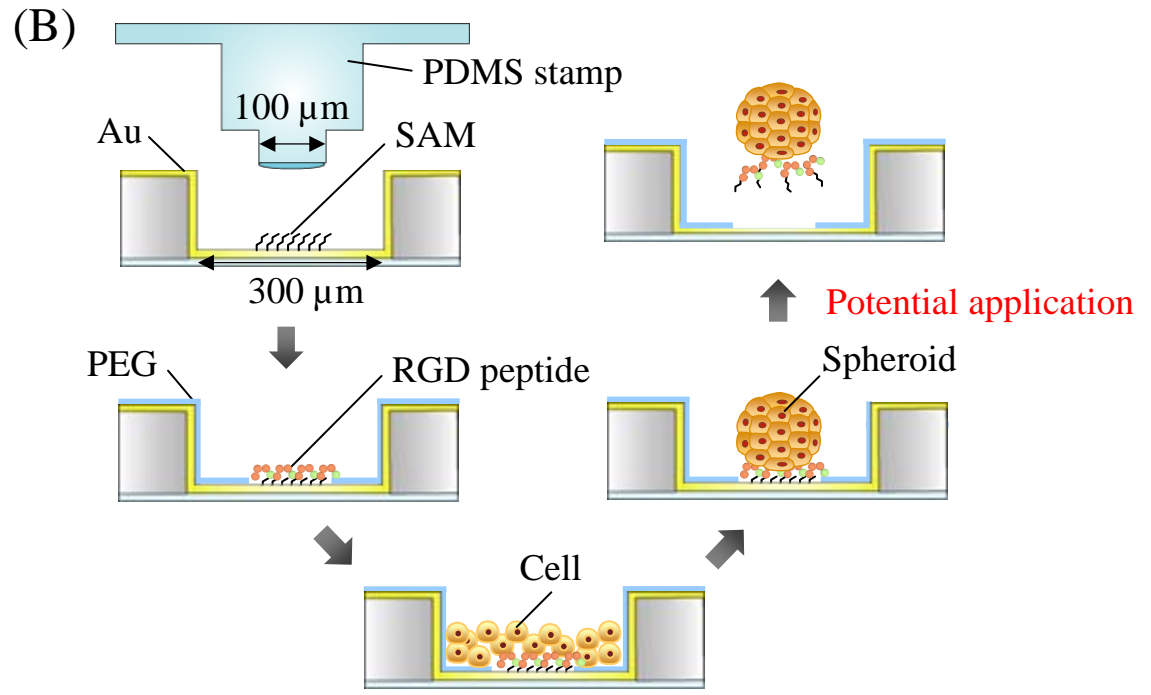
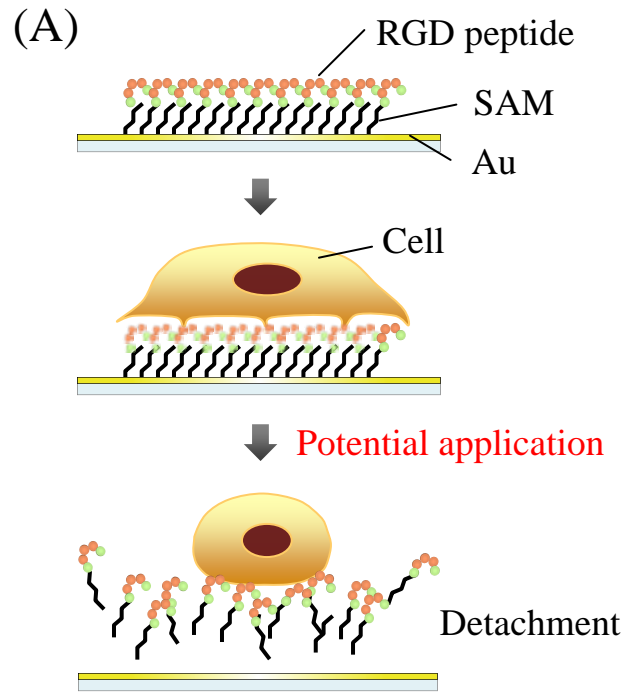


Fig. 2 R. Inaba et al.

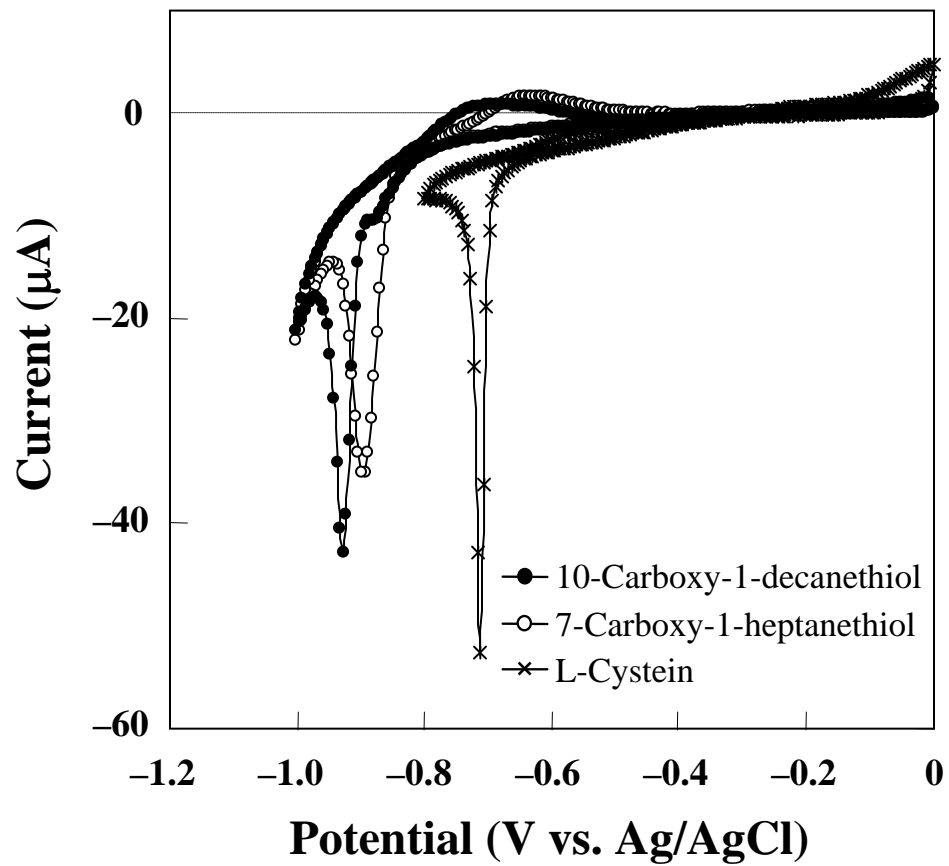


Fig. 3 R. Inaba et al.

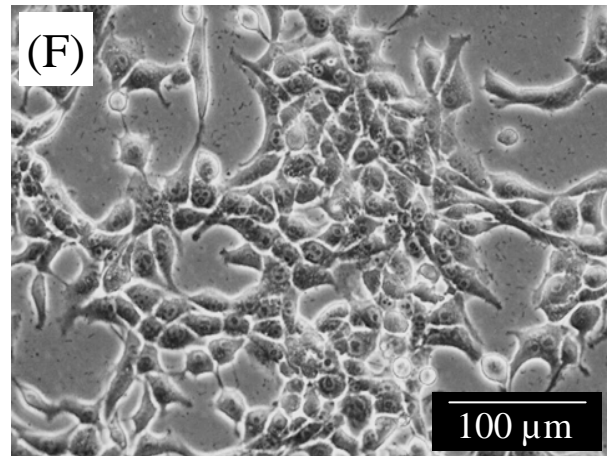
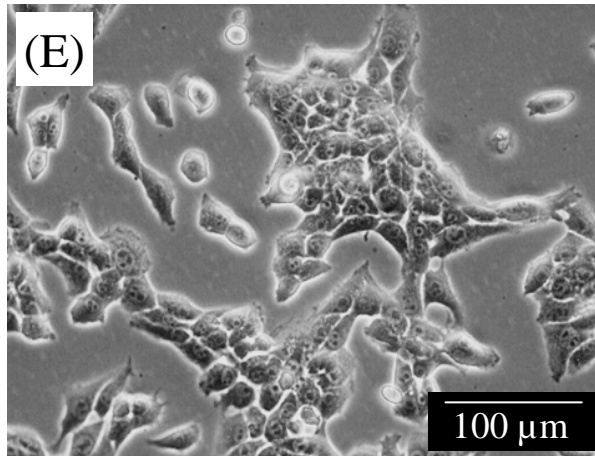
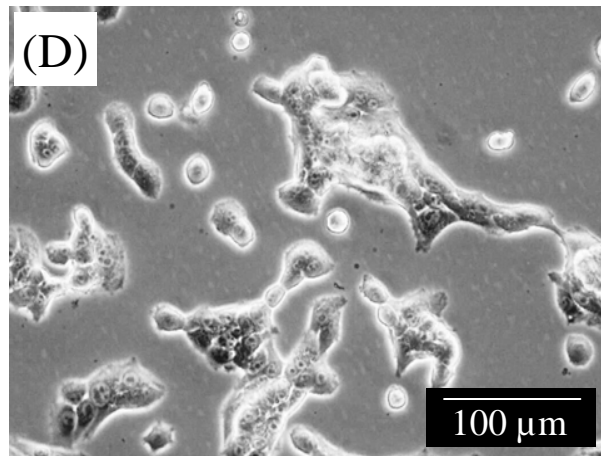
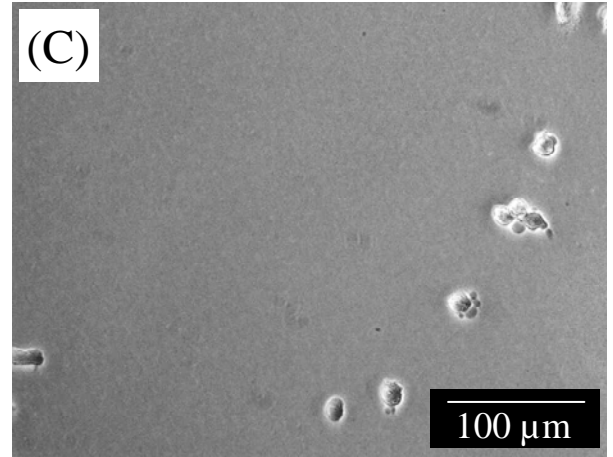
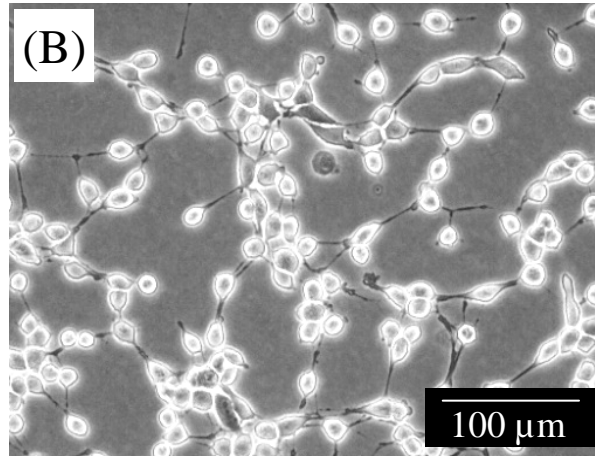
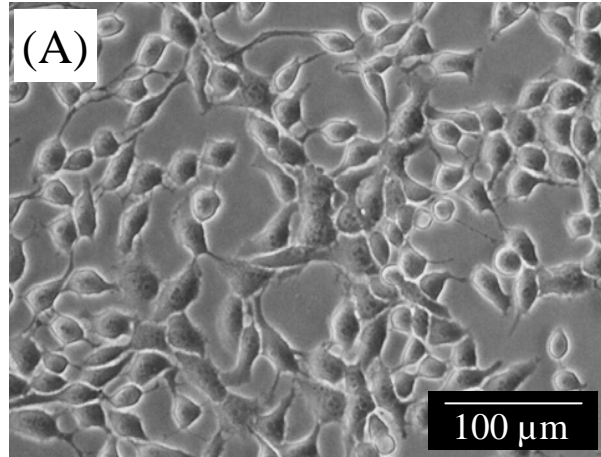


Fig. 4 R. Inaba et al.

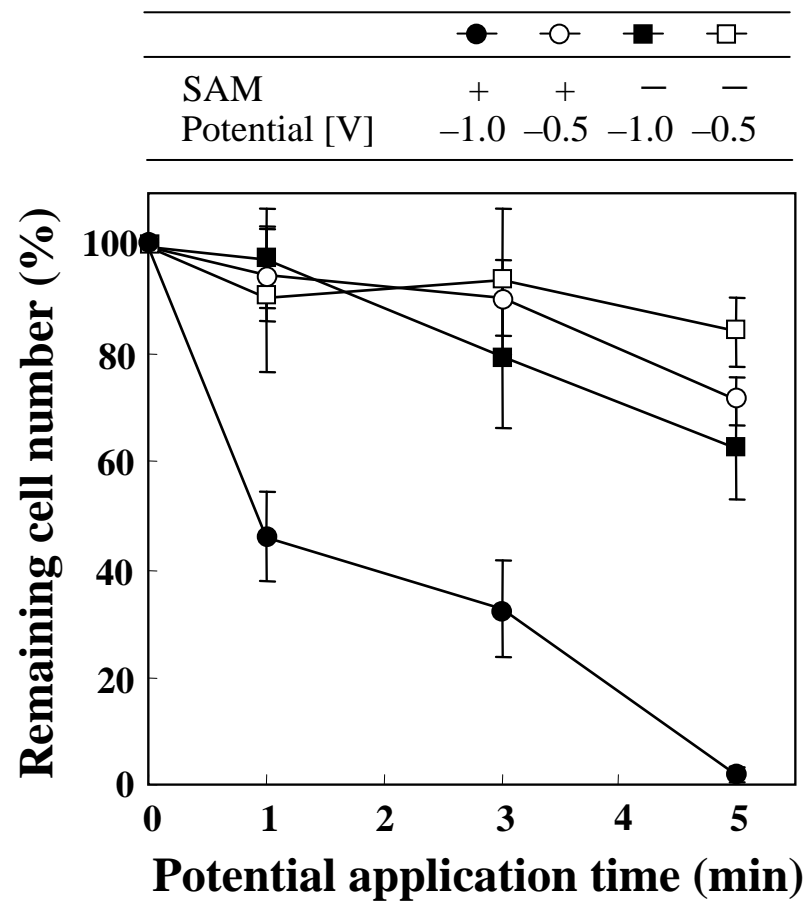


Fig. 5 R. Inaba et al.

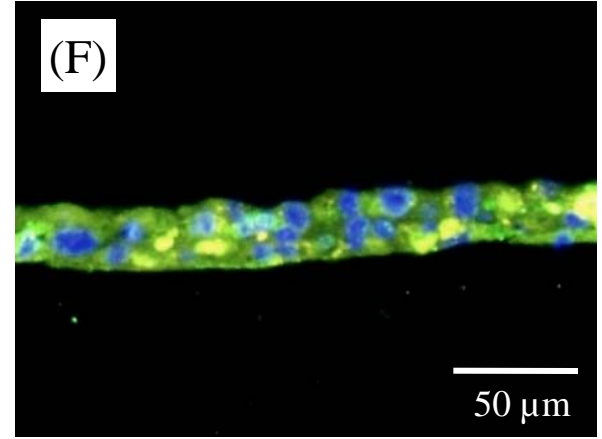
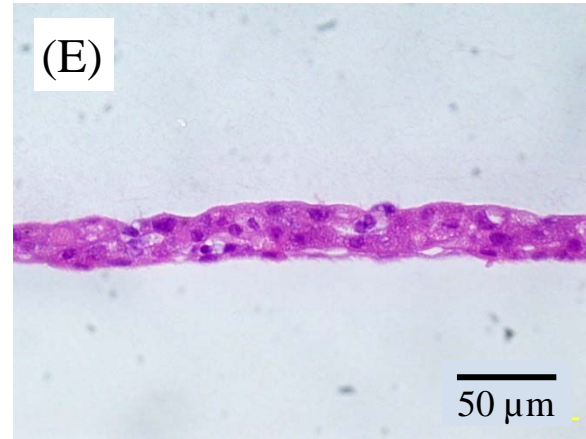
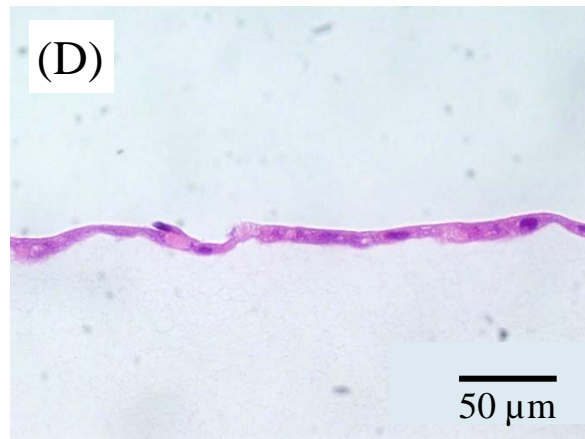
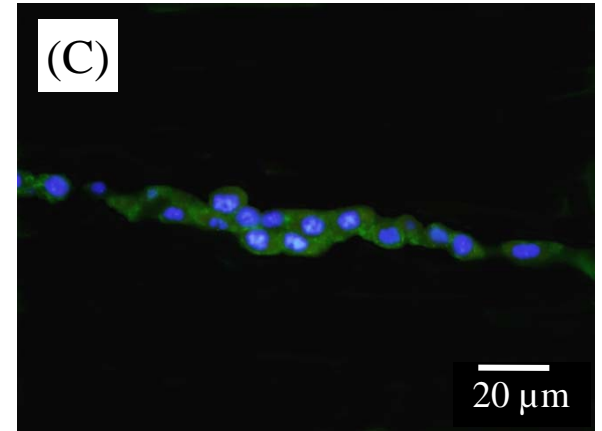
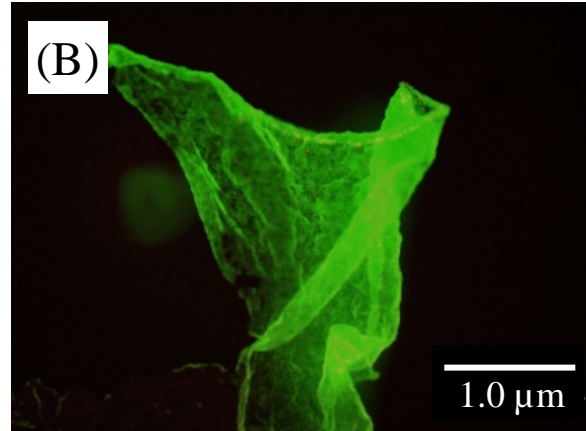
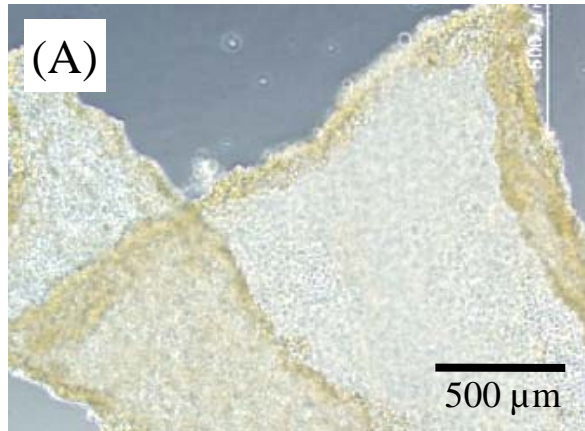


Fig. 6 R. Inaba et al.

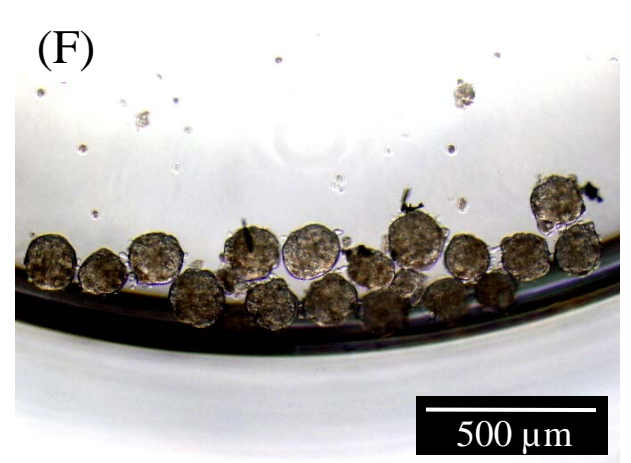
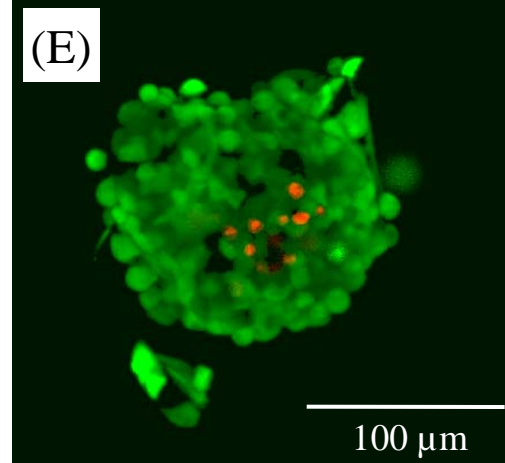
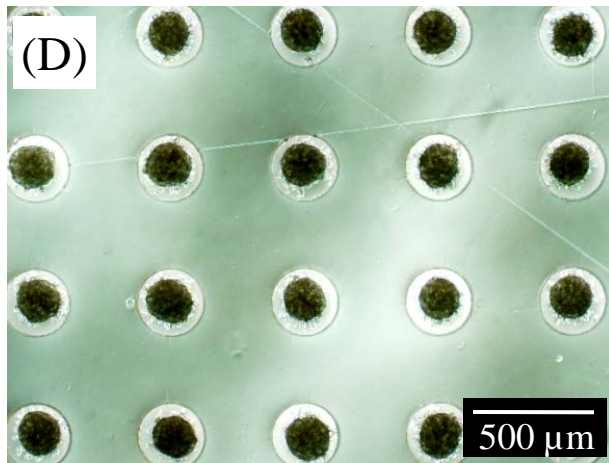
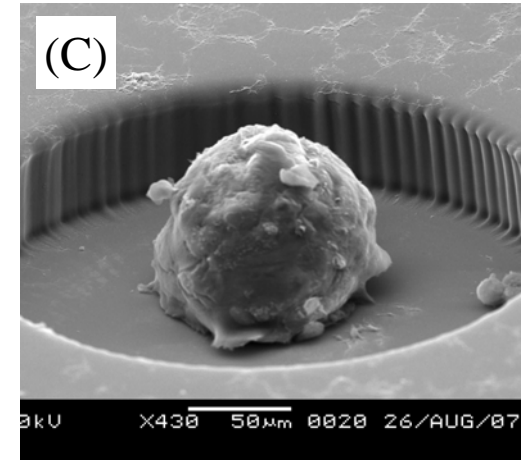
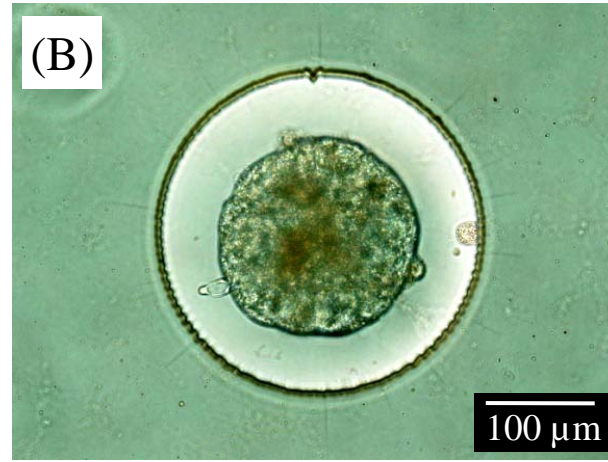
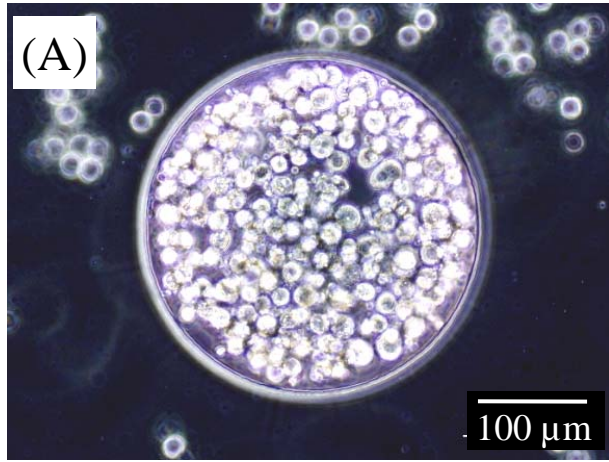


Fig. 7 R. Inaba et al.

